

مدل‌سازی شبکه ناپیوستگی گستته به منظور برآورد خردشوندگی برجای توده سنگ در روش‌های استخراج تخریبی

عنایت‌الله امامی میبدی^{۱*}، سید محمد اسماعیل جلالی^۲، علیرضا یاراحمدی بافقی^۳

پذیرش مقاله: ۹۳/۰۶/۰۷ دریافت مقاله: ۹۵/۰۷/۰۷

چکیده

یکی از مولفه‌های اساسی به منظور ارزیابی قابلیت تخریب‌پذیری توده سنگ در روش‌های استخراج تخریبی، برآورد خردشوندگی برجای در مراحل پیش‌امکان‌سنگی است. برآورد ضعیف این مولفه می‌تواند اثر بسیار نامطلوبی را بر فرآیند تخریب داشته باشد. در سال‌های اخیر ناپیوستگی‌ها به عنوان عامل اصلی خردشوندگی برجای با استفاده از روش‌های جدید امکان شیوه‌سازی دقیق‌تری یافته‌اند. گسترش و ابعاد ناپیوستگی‌ها به عنوان یکی از پارامترهای هندسی در سیستم‌های شبیه‌سازی نامحدود مورد توجه قرار نمی‌گیرد در صورتی که تاثیر زیادی بر میزان تخریب‌پذیری کانسار در روش‌های استخراج تخریبی، بهویژه روش تخریب توده‌ای دارد. در آخرین روش‌های مدل‌سازی هندسی به نام شبکه ناپیوستگی‌های گستته (DFN) ناپیوستگی‌ها به صورت ناپایا در نظر گرفته می‌شود که این امر از افزایش چگالی درزه‌داری جلوگیری کرده و با واقعیت تطابق بیشتری دارد. در این تحقیق با توجه به قابلیت‌های خوب محاسباتی و نمایه‌های بصری از نرم‌افزار Mathematica برای نوشتن کد شبکه ناپیوستگی گستته دو بعدی (DFN^{2D}) استفاده شد. از قابلیت‌های کد نوشته شده می‌توان به تولید خروجی رقومی، نمایه‌های بصری، در نظر گرفتن تسلسل درزه‌داری، ساخت مدل درزه‌های پایا و ناپایا، تعیین بلوک‌های کامل حاصل از برخورد درزه‌ها با محاسبه مساحت آنها، ایجاد خروجی مناسب برای استفاده در نرم‌افزارهای تحلیل عددی UDEC و PFC2D و خروجی آماری هریک از مشخصه‌های هندسی مدل اشاره کرد. با استفاده از برداشت‌های انجام شده از ترانشه‌های موجود در یک معدن مس و برآورد بهترین توابع توزیع احتمالاتی ویژگی‌های هندسی دسته‌درزه‌های موجود در این منطقه، مدل هندسی شبکه درزه‌ها تهیه شد. خروجی‌های حاصل از مدل از جمله چگالی و شدت درزه‌داری با واقعیت موجود تطابق بسیار خوبی را نشان داد. میزان خردشوندگی برجای حاصل از درزه‌های ناپایا و همچنین نسبت سطح بلوکی شده به سطح کل مدل محاسبه شد.

کلید واژه‌ها: مدل‌سازی هندسی، درزه‌های ناپایا، شبکه ناپیوستگی گستته، خردشوندگی برجای، روش‌های استخراج تخریبی

۱. دانشجوی دکتری استخراج معدن، دانشگاه صنعتی شاهرود، دانشکده معدن، نفت و ژئوفیزیک enayatemami@gmail.com

۲. دانشیار دانشکده مهندسی معدن، نفت و ژئوفیزیک، دانشگاه صنعتی شاهرود

۳. استادیار دانشکده مهندسی معدن و متالورژی، دانشگاه یزد.

* مسئول مکاتبات

پیشفرضهایی در مورد قطعی بودن ویژگی‌های درزه، تعداد بسیار کم درزه‌ها، استقلال درزه‌ها، احتمال رخداد یکسان و یکنواخت در تودهسنگ و غیره در نظر گرفته می‌شوند. این ساده‌سازی‌ها محدودیت‌هایی جدی بر توانایی مدل‌سازی رفتار واقعی تودهسنگ، تحمیل می‌کنند. برای مدل‌سازی دقیق تودهسنگ باید جانمایی درزه‌ها در داخل مدل به گونه‌ای باشد که توزیع درزه‌ها تا حد امکان مشابه ناپیوستگی‌های موجود در تودهسنگ باشد. از طرف دیگر، ماهیت تصادفی هر ویژگی هندسی درزه اثر مهمی بر مقاومت تودهسنگ دارد (Hoek, 1998). از بهترین روش‌های دارای توانایی شبیه‌سازی ماهیت تصادفی ویژگی‌های هندسی ناپیوستگی‌ها، مدل‌سازی تصادفی شبکه ناپیوستگی‌های گستته Discrete Fracture Network است. توسعه مدل‌سازی تصادفی، پیشرفت چشم‌گیری در زمینه مدل‌سازی تودهسنگ و بررسی رفتار آن محسوب می‌شود (Rogers et al., 2006). در مدل‌سازی تصادفی، با تعریف ویژگی‌های ناپیوستگی‌ها به صورت آماری و تصادفی، مدل‌ها با استفاده از مدل‌سازهای تولید سیستم درزه مانند مدل سلسله مراتبی پیشرفتنه دو بعدی و سه بعدی، مدل ونزيانو، مدل بیچر یا سایر مدل‌های مشابه با کاربرد سری‌های متوالی فرآیندهای تصادفی (خطی پواسونی، صفحه‌ای پواسونی و غیره) ایجاد می‌شوند.

پارامترهای تصادفی درزه‌ها از اندازه‌گیری‌های میدانی و تحلیل‌های آماری بدست می‌آیند. پیشرفت‌های چشم‌گیر در جمع‌آوری و روش‌های پردازش اطلاعات در سال‌های اخیر این امکان را فراهم نموده که بتوان حجم زیادی از اطلاعات با کیفیت بالا را از رخنمونهای تودهسنگ بدست آورد. لذا این امکان فراهم می‌شود که بر اساس اطلاعات آماری جمع‌آوری شده، ویژگی‌های تودهسنگ با کیفیت بهتری تعیین شوند.

مدل‌های تصادفی شبکه درزه توسعه داده شده توسط بیچر Baecher و همکاران در سال ۱۹۷۷ و ونزيانو Veneziano در سال ۱۹۷۸ جزء مدل‌های پایه ارایه شده در این زمینه هستند. در این مدل‌ها ویژگی‌هایی از درزه شامل احتمال رخداد،

۱. مقدمه

در سال‌های اخیر صنعت معدنکاری با آرایشی تازه از چالش‌های قدیمی و جدید روبروست. عمیق‌تر شدن ذخایر، کم‌شدن عیار و افزایش تقاضا برای منابع معدنی از جمله این چالش‌هاست. استفاده از روش‌های تخریبی به ویژه روش تخریب توده‌ای به عنوان یک پاسخ به این مسائل مطرح است. روش تخریب توده‌ای استخراج ذخایر عظیم با عیار پایین در عمق را امکان‌پذیر می‌سازد. همچنین این روش پایین‌ترین هزینه تولید و بالاترین نرخ تولید نسبت به سایر روش‌های استخراج زیرزمینی را دارد. به هر حال تجارب اخیر در برخی از معادن دنیا که با این روش مشغول به کار هستند، مانند معدن نورث‌پارکس Northparkes در استرالیا و پالابورا Palabora در آفریقای جنوبی، عدم شناخت کافی از فرآیندهای ژئوتکنیکی در بحث تخریب را نمایان می‌سازد. هم‌اکنون در کشورهای پیشرفته‌ی صنعتی تمایل برای استفاده از روش تخریبی در کانسارهای سخت‌تر از آنچه در گذشته با این روش مورد استخراج قرار می‌گرفته، وجود دارد. همواره در این روش به ویژه برای کانسارهای سخت‌تر چالش تخریب‌پذیری مطرح بوده است و یکی از مهمترین عوامل تاثیرگذار بر میزان تخریب‌پذیری در کانسارهای سخت، سیستم ناپیوستگی‌های آنهاست (Tollenaar, 2008).

در اکثر موارد ویژگی‌های ناپیوستگی‌ها رفتار کلی تودهسنگ را کنترل می‌کنند. تعریف دقیق ساختار هندسی تودهسنگ نقطه شروع بهتری را برای مدل‌سازی و تعیین مقاومت تودهسنگ فراهم می‌کند (Pine et al., 2006). درزه‌ها متداول‌ترین نوع ناپیوستگی‌ها در میان ناپیوستگی‌های تودهسنگ هستند. لذا ارزیابی ویژگی‌های درزه‌ها بخش مهمی از مهندسی تودهسنگ را تشکیل می‌دهد (Wanga et al., 2003). در بسیاری از شبیه‌های مدل‌سازی تودهسنگ، درزه‌ها با استفاده از بعضی فرض‌های غیرواقعی ساده‌سازی می‌شوند. برای مثال فرض درزه‌های بی‌نهایت که معمولاً در مدل‌سازی‌ها به کار می‌رود، یک ویژگی است که با شرایط واقعی و طبیعی تودهسنگ تطابق ندارد (Rogers et al., 2007).

Priest and Samaniego, 1988) ارایه‌ی مدل هندسی سلسله مراتبی در ارتباط با فرآیندهای پایه‌ای ایجاد درزه توسط ریس و انیشتین در سال ۱۹۹۱ (Reyes and Einstein, 1991) و مدل هندسی - مکانیکی ارایه شده توسط Martel et al., 1991) را می‌توان از دیگر نمونه‌های مدل‌های تصادفی توسعه داده شده دانست. محدودیت‌های این مدل‌ها، به ویژه توانایی مدل‌سازی فقط دو دسته درزه و مشکل در ارایه تغییرات گسترده توزیع دسته درزه‌ها، منجر به توسعه مدل دوبعدی سلسله مراتبی پیشرفت‌هه توسط یو در سال ۱۹۹۲ شد (Yu, 1992). پریست در سال ۱۹۹۳ مدل تصادفی سه بعدی را ارایه نمود که در آن درزه‌ها بصورت دیسک‌های دایره‌ای فرض شده‌اند. در این مدل مقادیر تصادفی برای قطر درزه نیز به وسیله الگوریتم‌های ارایه شده توسط پریست، از توزیع‌های مناسب تولید می‌شوند (Priest, 1993). ایوانوا و همکارانش در سال ۱۹۹۵ مدل دوبعدی سلسله مراتبی پیشرفت‌ه را به سه بعد توسعه دادند (Ivanova et al., 1995). کولاتیلاک و همکاران در سال ۲۰۰۴ اقدام به تهیی مدل شبکه درزه تصادفی سه بعدی برای توده‌سنگی از جنس دیوریت و ارایه فرآیند جدیدی برای تخمین مقاومت و تغییرشکل پذیری بلوك سنگی در سه بعد نمودند (Kulatilake et al., 2004). در سال‌های اخیر نیز توسعه مدل تصادفی به منظور بررسی اثرات وابستگی بین توزیع بازشدگی و طول اثر درزه بر رفتار هیدرولیکی و مکانیکی توده‌سنگ درزه‌دار، بر اساس مدل‌های پیشین، انجام شده است. مدل دوبعدی ارایه شده ارایه شده توسط باغبانان و جینگ در سال ۲۰۰۸ (Baghbanan and Jing, 2008) و مدل سه‌بعدی ارایه شده توسط زو و دود در سال ۲۰۱۰ (Xu And Dowd, 2010) و Bang et al., 2012) همچنین بنگ و همکارانش در سال ۲۰۱۲ (2012) را می‌توان به عنوان نمونه‌هایی از این نوع برشمرد. در سال‌های ۱۳۸۶ تا ۱۳۹۳ امینی، گودرزی و یاراحمدی بافقی، مدل‌سازی سه بعدی توده سنگ‌های درزه‌دار به دو روش سیستم ناپیوستگی‌های نامحدود و سیستم دیسک‌های تصادفی

جهت‌داری و فاصله‌داری به خوبی به طور آماری مدل شده‌اند، اما به ویژگی ابعاد و گسترش (پایایی) درزه به دلیل مشکلات اندازه‌گیری مقدار آن و عدم وجود روابط مربوطه پرداخته نشده است. در این مقاله با توجه به تاثیر شدید پایایی درزه بر خردشوندگی برجای توده سنگ، مدل تصادفی شبکه درزه با در نظر گرفتن ویژگی آماری اندازه طول درزه براساس مدل ونزیانو و مدل‌های سلسله مراتبی ساخته شده است. همچنین با استفاده از داده‌های میدانی برداشت شده از یک معدن مس پرفیری در ایران مدل هندسی دوبعدی شبکه درزه‌های توده‌سنگ با استفاده از مدل تصادفی توسعه یافته تهیی شده است. به این منظور کدی دوبعدی با استفاده از زبان برنامه‌نویسی نرم‌افزار Mathematica به نام DFN^{2D} تهیی شده که قادر است براساس داده‌های برداشت شده، خروجی رقومی، نمایه‌های بصری، در نظر گرفتن ژئو و تسلیل درزه‌داری، ساخت مدل درزه‌های پایا و ناپایا، تعیین بلوك‌های کامل حاصل از برخورد درزه‌ها با محاسبه مساحت آن‌ها، ایجاد خروجی مناسب برای استفاده در نرم‌افزارهای تحلیل عددی UDEC و PFC2D و خروجی آماری هریک از مشخصه‌های هندسی ساخت مدل را ارایه دهد.

۲. پیشینه مطالعات

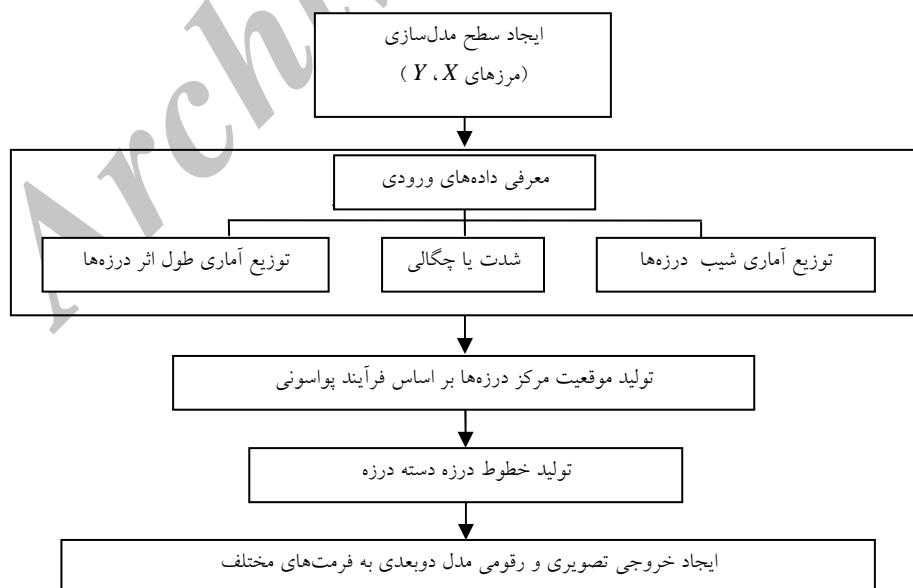
مدل‌های تصادفی شبکه درزه، طبیعت ناهمگن توده‌سنگ‌های درزه‌دار را با استفاده از ارایه شبکه درزه به صورت عناصری گسسته در فضا با خصوصیات هندسی و ویژگی‌هایی که به طور تصادفی تعریف شده‌اند نمایش می‌دهد (Pine et al., 2006). مطالعات هادسون و لاپوته در سال ۱۹۸۰ و راینسون در سال ۱۹۸۳ در زمینه تراوایی و جریان سیال را می‌توان نقطه آغاز کاربرد مدل‌های تصادفی دانست (Hudson and La, 1980, Robinson, 1983 Pointe, 1980). در این سال ۱۹۸۸ یک مدل تصادفی ارایه نمودند که با در نظر گرفتن تغییرات در جهت، فاصله‌داری و پایایی ناپیوستگی، شبکه درزه واقعی‌تری را ایجاد می‌کرد (Dershowitz and Einstein, 1988). پریست و سامانیگو در سال ۱۹۸۸ اقدام به توسعه این

توده سنگ را به شیوه‌ی آماری ایجاد نماید. این کار بوسیله‌ی ساخت سری ناپیوستگی‌های مجزا بر مبنای مشاهده‌ها و برداشت‌های خواص هندسی ناپیوستگی‌های موجود در یک منطقه انجام می‌گیرد. این خواص شامل اندازه، امتداد و شدت درزه‌داری است.

روش مدل‌سازی شبکه ناپیوستگی گستته دارای مزایای اصلی نسبت به دیگر روش‌های معمول مدل‌سازی است. این روش برای مسایلی با مقیاس محلی مناسب‌تر است زیرا توانایی آن برای توصیف خواص هندسی ناپیوستگی‌های مجزا و درزه‌ها بسیار دقیق‌تر از شیوه‌های پیوسته بزرگ مقیاس است. همچنین این روش ناهمگنی سیستم درزه‌ها را به صورت واضح و مشخصی ارایه می‌کند، این عمل با توصیف خواص کلیدی سیستم ناپیوستگی امکان‌پذیر است. مهم‌ترین ویژگی این روش این است که مسیر آشکار و تجدیدپذیر را برای مدل‌سازی داده‌های برداشت شده از منطقه فراهم می‌کند زیرا خواص هندسی واقعی درزه‌ها در هنگام مدل‌سازی دست‌نخورده باقی خواهد ماند (Rogers et al., 2014).

در محیط نرم‌افزاری متتمیکا در برنامه‌ای با عنوان 3DGM را توسعه دادند. در این برنامه نیز قابلیت اخذ خروجی مورد نیاز نرم‌افزارهای UDEC، 3DEC و DDA وجود دارد (امینی و یاراحمدی، ۱۳۸۶، امینی و یاراحمدی، ۱۳۸۸، گودرزی و یاراحمدی، ۱۳۹۲، گودرزی و یاراحمدی، ۱۳۹۳) جدیدترین کارهای انجام شده در مورد استفاده از مدل‌سازی شبکه ناپیوستگی‌های گستته و شدت درزه‌داری حجمی برای شناخت بیشتر توده‌سنگ در روش تخریب بلوکی مربوط به راجرز و همکاران در سال ۲۰۱۴ است (Rogers et al., 2014).

۳. تهیه نرم‌افزار تولید شبکه ناپیوستگی گستته
در مدل‌سازی‌های تصادفی، شیوه کلی شامل بررسی و استنتاج موقعیت، پایابی (اندازه)، جهت‌داری و دیگر ویژگی‌های هندسی درزه‌ها به عنوان متغیرهای تصادفی با توزیع‌های آماری است که مبنای تصادفی بودن مدل‌سازی‌ها خواهد بود. از جمله این روش‌های تصادفی شبکه ناپیوستگی گستته است، این روش مدل‌سازی سعی دارد سیستم ناپیوستگی‌های



شکل ۱. روند نمای مدل‌سازی برای یک دسته درزه

- دارا بودن ابزار نمونه‌گیری از درزه‌ها براساس مولفه‌های ورودی از جمله شیب و طول اثر، به عنوان نمونه تفکیک جامعه آماری درزه‌های با طول اثر (پایایی) بین ۰/۸ تا ۰/۱ متر.
- امکان تشکیل بلوک‌های کامل از تقاطع درزه‌ها و محاسبه‌ی مساحت آنها به همراه ترسیم توابع توزیع آماری مساحت بلوک‌ها.
- امکان خروجی تمامی مولفه‌های ایجاد شده در مرحله مدل‌سازی، توابع توزیع و آماره‌های آنها به عنوان نمونه شیب، طول اثر، مساحت بلوک‌های تشکیل شده.
- امکان گرفتن خروجی از مدل ساخته شده به فرمت ورودی نرم‌افزارهای عددی UDEC و PFC2D با تفکیک نوع درزه‌ها براساس دسته درزه، طول اثر و ...
- امکان تکرار مدل‌سازی تصادفی به مقدار دلخواه، مقایسه‌ی مولفه‌های چگالی و شدت درزه‌داری خطی و سطحی مدل‌ها با یکدیگر و ترسیم توابع توزیع آماری هریک از این مولفه‌ها.

۴- درزه‌نگاری منطقه

- درزه‌نگاری یکی از بخش‌های مهم در مطالعات خصوصیات مهندسی توده‌سنگ است و از مهمترین مراحل تهیه داده‌ها برای مدل‌سازی هندسی محسوب می‌شود. این عملیات را می‌توان به سه زیربخش تفکیک کرد:
- برداشت
 - ترسیم و تفکیک دسته درزه‌ها
 - تحلیل آماری

۴-۱. برداشت درزه‌ها

اندازه‌گیری از روی رخنمونه‌های سنگی از این مزیت که از منطقه وسیع‌تری برای برداشت استفاده می‌شود، برخوردار است. ویژگی‌های هندسی ناپیوستگی‌ها مانند شیب و جهت شیب، اندازه و دیگر خصوصیات بزرگ مقیاس آنها می‌تواند برداشت شود. ارتباط زمین‌شناسی بین گروه ناپیوستگی‌ها نیز

برای ساخت مدل شبکه ناپیوستگی گستته از هر دسته درزه به چهار مولفه‌ی زیر نیاز است:

الف - تابع چگالی احتمال جهت‌داری درزه‌ها

ب - چگالی یا شدت درزه‌داری

پ - تابع چگالی احتمال تغییرات اندازه (پایایی) درزه‌ها

ت - موقعیت مراکز درزه‌ها

رونده نمای مدل‌سازی برای یک دسته درزه در شکل ۱ نشان داده شده است.

یک دسته درزه در فضای دو بعدی با کاربرد متوالی سه فرآیند تصادفی تولید می‌شود.

- فرآیند اول: شبکه پواسونی همگن برای تولید مرکز درزه براساس چگالی درزه‌داری

- فرآیند دوم: انتخاب تصادفی مقدار شیب درزه از تابع چگالی احتمال شیب

- فرآیند سوم: انتخاب تصادفی مقدار طول اثر درزه از تابع چگالی احتمال آن

در برنامه تهیه شده با عنوان DFN^{2D} . که در محیط نرم‌افزاری Mathemtica نوشته شده است، بنا به استفاده مورد نظر قابلیت‌هایی تعییه شده که برخی از آنها منحصر به فرد است، در ذیل به بخشی از مهمترین آنها اشاره شده است:

- امکان نمونه‌گیری تصادفی از درزه‌های تولید شده به تفکیک هر دسته درزه و یا بصورت کلی، به عنوان نمونه ۶۰٪ از درزه‌های ساخته شده بصورت تصادفی انتخاب شوند.

- امکان ایجاد مدل‌های سلسله مراتبی با درنظر گرفتن ژئو هر دسته درزه به تعداد دلخواه براساس تعداد دسته درزه‌ها.

- دارا بودن ابزارهای نمونه‌برداری برای تعیین میزان چگالی خطی در راستاهای مختلف در مدل ساخته شده، به دلخواه کاربر به تفکیک هر دسته درزه و یا بصورت کلی به منظور اعتبارسنجی مدل.

- امکان ایجاد خروجی رقومی و گرافیکی به تفکیک هر دسته درزه و بصورت کلی.

وجود نداشته است. داده‌های مورد نیاز از ترانشه‌ها در ترازهای ارتفاعی مختلف برداشت گردید و پارامترهای هندسی درزه‌ها شامل جهت شبب، شبب، فاصله‌داری، بازشدگی، پرشدگی و گسترش با استفاده از کمپاس و متر اندازه‌گیری شد. برای دست‌یابی به دیدی درست از درزه‌های برداشت شده لازم است درزه‌ها به سه گروه تقسیم شوند. تعداد درزه‌هایی که هر دو انتهای آن‌ها دیده می‌شود (n) تعداد درزه‌هایی که فقط یک انتهای آن‌ها دیده می‌شود (m) و تعداد درزه‌هایی که هیچ یک از دو انتهای آن دیده نمی‌شود (p) موارد مربوط به این مولفه در ستون مربوط به Termination در فرم‌های مخصوص برداشت ناپیوستگی ثبت شد. سپس ضرایب R_0 , R_1 و R_2 به منظور نشان دادن شرایط پایایی درزه‌ها مطابق رابطه‌ی زیر محاسبه می‌شوند (Kulatilake et al., 1996):

(۰۱)

$$R_0 = p/(p + m + n)$$

$$R_1 = m/(p + m + n)$$

$$R_2 = n/(p + m + n)$$

در مجموع تعداد سه ترانشه برای پیاده‌سازی خط برداشت مناسب‌تر تشخیص داده شد. در شکل ۲ نمایی از یک ترانشه به همراه خط برداشت ارایه شده است. در جدول ۱ خلاصه‌ای از وضعیت پایان‌یابی درزه‌های برداشت شده ارایه شده است.

در رخنمونهای سنگی قابل مشاهده است. بزرگ‌ترین نقص این روش در دسترس نبودن رخنمونهای تحت تاثیر قرار گرفتن آن‌ها از انفجار و هوازدگی و پنهان ماندن در زیر پوشش گیاهی است. اطلاعات جمع‌آوری شده در این مقاله در مورد کلیه‌ی ناپیوستگی‌های با مقیاس درزه با استفاده از دو روش خط برداشت و پنجه برداشت به دست آمده است. نکته قابل توجه در روش خط برداشت این است که استاندارد قابل قبول جهانی برای این روش وجود ندارد و در واقع باید جزئیات روش را به نحوی تغییر داد که بتوان داده‌های لازم برای هدف مورد نظر را جمع‌آوری نمود و با شرایط محلی توده‌سنگ تطابق داد.

در روش خط برداشت سطوح مستطح تمیز سنگی به گونه‌ای انتخاب می‌شوند که نسبت به اندازه و فاصله‌داری ناپیوستگی‌ها بزرگ باشند. در این روش باید رخنمون شامل ۱۵۰ تا ۳۰۰ ناپیوستگی بوده و حداقل یک انتها از ۵۰ درصد آن‌ها قابل مشاهده باشد (Priest, 1993).

عملیات برداشت درزه‌ها در محدوده معدن با استفاده از خط برداشت‌هایی به موازات ترانشه‌های آماده‌سازی سکوهای حفاری انجام شد. در این روش تمامی درزه‌هایی که خط برداشت را قطع می‌کنند اندازه‌گیری شدند. در تعداد زیادی از ترانشه‌های موجود در منطقه به دلیل خردشیدگی و شکستگی بالای توده‌سنگ و یا وجود رویاره خاکی، امکان برداشت



شکل ۲. یکی از ترانشه‌های مورد مطالعه و خط برداشت

جدول ۱. خلاصه‌ای از وضعیت پایان‌یابی درزه‌های برداشت شده

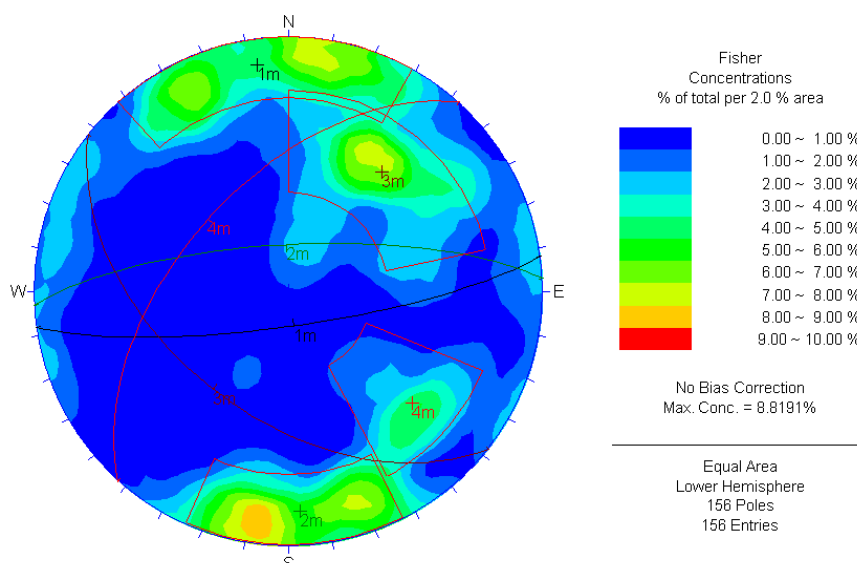
نوع پایان‌یابی درزه‌ها (%)			تعداد درزه‌ها
R ₂	R ₁	R ₀	
۶۰	۳۵	۵	۳۰۰

۴-۲. ترسیم و تفکیک دسته‌درزه‌ها

با توجه به دسته‌درزه‌های قابل تفکیک در هر یک از سه ایستگاه برداشت، بر مبنای مولفه‌های شیب و جهت شیب، مشخص شد که تقریباً تمامی دسته‌درزه‌ها در ایستگاه‌های مختلف وجود دارد، که میزان فراوانی آن‌ها نیز تقریباً یکسان است. لذا برای تشخیص و تفکیک بهتر کلیه دسته‌درزه‌ها، همه‌ی درزه‌های موجود بصورت یکجا تحلیل شده است. با توجه به اینکه امکان برداشت بیشتر درزه در منطقه‌ی مورد مطالعه وجود داشت لذا به همین تعداد بسته شد.

از طرفی با توجه به مرحله بعدی که استفاده از داده‌های برداشت شده برای ساخت مدل شبکه ناپیوستگی‌های گسسته به منظور برآورد خردشوندگی بر جا و تخریب‌پذیری توده‌سنگ منطقه است، لذا میزان فراوانی هرچند اندک یک دسته درزه نیز، با توجه به مقادیر شیب، جهت شیب و طول آن می‌تواند بسیار تاثیرگذار باشد. براساس تحلیل‌های انجام شده در نرم‌افزار Dips تعداد ۴ تمرکز درزه قابل تشخیص است (شکل ۳).

عدم توانایی ثبت درزه‌هایی که طول آن‌ها از حد اندازه‌گیری کوچک‌تر است به عنوان خطای فرواندازه truncation bias خوانده می‌شود. همچنین درزه‌هایی که طول آن‌ها به دلیل محدود بودن رخنمون سنگی دیده نمی‌شود، به عنوان خطای Priest and Hudson (Priest and Hudson, 1976, Hudson and Priest, 1983) censoring bias شناخته شده است. تاثیر اندازه خطای فرواندازه را با کاهش سطح اندازه در موقع برداشت درزه، می‌توان کاهش داد. در این تحقیق طول ۰/۱ متر برای حد اندازه انتخاب شده است. رخنمون‌های سنگی انتخاب شده نیز دارای اندازه نسبتاً بزرگی در برابر اندازه درزه‌های موجود هستند. بنابراین خطای فرواندازه قابل توجه نیست. همچنین از آنجا که درصد درزه‌هایی که هر دو انتهای آن قابل مشاهده است، پایان‌یابی R₂، بسیار بیشتر است که می‌توان از خطای فرواندازه نیز چشم‌پوشی کرد.



شکل ۳. کنتور تمرکز درزه‌ها و تفکیک آنها در منطقه برداشت

آماره کولموگروف - اسمنیوروف (D) بر اساس بزرگترین اختلاف بین تابع توزیع تجمعی تئوری و تجربی بدست می‌آید.

$$D = \max_{1 \leq i \leq n} \left(F(x_i) - \frac{i-1}{n}, \frac{i}{n} - F(x_i) \right) \quad (03)$$

آزمون آندرسون - دارلینگ برآش تابع توزیع تجمعی مشاهده شده را با تابع توزیع تجمعی مورد نظر مقایسه می‌کند. این آزمون نسبت به آزمون کولموگروف - اسمنیوروف به داده‌های حاشیه وزن بیشتری می‌دهد. آماره آندرسون-دارلینگ (A^2) مانند زیر تعریف شده است

$$A^2 = -n - \frac{1}{n} \sum_{i=1}^n (2i-1) [\ln F(x_i) + \ln(1-F(x_{n-i+1}))] \quad (04)$$

آزمون چی - اسکویر برای آزمودن جامعه که از کدام توزیع پیروی می‌کند مورد استفاده قرار گرفته است. این آزمون بر روی داده‌های دسته‌بندی شده binned data اعمال می‌شود، پس مقدار آماره آزمون به چگونگی دسته‌بندی بستگی دارد. آماره چی - اسکویر The Chi-Squared statistic (χ^2) مطابق زیر تعریف شده است

$$\chi^2 = \sum_{i=1}^k \frac{(O_i - E_i)^2}{E_i}, \quad (05)$$

که در آن O_i فراوانی مشاهده شده دسته i و E_i فراوانی مورد انتظار بوده و از رابطه زیر محاسبه می‌شود.

$$E_i = F(x_2) - F(x_1), \quad (06)$$

که در آن $F(x)$ تابع توزیع تجمعی توزیع احتمال تحت آزمون، x_1 و x_2 ، کران‌های دسته می‌باشند.

در سطح اعتماد مشخص (α) اگر مقدار آماره آزمون‌های کولموگروف - اسمنیوروف (D)، آندرسون - دارلینگ (A^2) و چی - اسکویر (χ^2) از مقدار بحرانی آنها بیشتر باشد، فرضیه شکل توزیع رد خواهد شد. در جایی که فرضیه چند توزیع مختلف برای یک متغیر وجود داشته باشد هرچه آماره آزمون انجام شده در هریک از توزیع‌های پیشنهادی کمتر باشد، آن توزیع به عنوان بهترین توزیع شناخته خواهد شد. از مقادیر α برابر 0.01 و 0.05 ، معمولاً برای ارزیابی فرض تهی (H0) null hypothesis در سطح اعتمادهای مختلف استفاده می‌شود. در اغلب موارد مقدار α برابر 0.05 استفاده

که ۳-۳. تحلیل‌های آماری ویژگی‌های هندسی شبکه درزه‌ها بررسی خصوصیات پارامترهای هندسی ناپیوستگی‌ها، اساس مدل‌سازی‌های هندسی تصادفی و آماری است. پردازش داده‌ها شامل تعیین پارامترهای هر درزه بر مبنای تابع توزیع آن پارامتر در آن دسته درزه است. از نظر تئوری تفاوت موجود در توابع توزیع درزه ناشی از تفاوت در فرآیندهای مکانیکی مختلفی است که درزه را ایجاد می‌کند. برای مثال توزیع یکنواخت تنش باعث ایجاد توزیع‌های نمایی و فرآیندهای پیچیده باعث ایجاد توزیع‌های لاغ نرم‌ال در مولفه‌ی طول اثر درزه خواهد شد (Dershawitz and Einstein, 1988).

با تفکیک هر دسته درزه و جداسازی ویژگی‌های درزه‌های مربوط به آن از جمله شب، جهت شب، چگالی و طول اثر، اطلاعات لازم برای مطالعات آماری و مدل‌سازی تصادفی فراهم می‌گردد. با استفاده از نرم‌افزار آماری Easyfit، تابع چگالی احتمال مولفه‌های هندسی برداشت شده برآورده شد. برای آزمودن این فرضیه که توزیع داده‌های برداشت شده از یک الگوی خاص تابع چگالی احتمال Probability Density Function پیروی می‌کند یا خیر، از آزمون‌های بهترین برآش Goodness of Fit استفاده شد. این آزمون‌ها بهترین توزیعی که بر داده‌های اندازه‌گیری شده برآش می‌شود را نشان می‌دهند. در این تحقیق از آزمون‌های بهترین برآش کولموگروف - اسمنیوروف، آندرسون - دارلینگ و چی - اسکویر برای ارزیابی تابع چگالی احتمال شب، جهت شب و طول اثر درزه‌ها استفاده شده است.

آزمون کولموگروف - اسمنیوروف: برای تشخیص فرضیه توزیع پیوسته بکار بردہ می‌شود. این آزمون بر اساس تابع Empirical Cumulative (ECDF) Distribution Function توزیع تجمعی تجربی $F(x)$ در نظر بگیرید. تابع توزیع تجمعی تجربی با استفاده از رابطه زیر نشان داده شده است

$$F_n(x) = \frac{1}{n} [Number of observation \leq x] \quad (02)$$

جدول ۲ ارایه شده است.

می‌شود در این مقاله نیز از همین مقدار استفاده شده است.

خلاصه‌ای از تحلیل آماری دسته درزه‌های برداشت شده در

جدول ۲. خلاصه تحلیل آماری پارامترهای هندسی دسته درزه‌های برداشت شده

دسته درزه	جهت‌داری						شیب (درجه)					
	تابع	میانگین	انحراف	تابع	میانگین	انحراف	تابع	میانگین	انحراف	تابع	میانگین	انحراف
۱	نرمال	۷۹/۳	۰/۷۲	نرمال	۶/۹۱	۰/۷۷	نرمال	۱۸/۲۵	۰/۷۷	نرمال	۱۷۳/۷	۰/۷۴
۲	نرمال	۷۵/۵	۰/۵۴	نرمال	۵/۶۶	۰/۸۳	نرمال	۱۳/۹۲	۰/۸۳	نرمال	۳۵۶/۴	۰/۶۳
۳	نرمال	۵۰/۸	۰/۶۷	نرمال	۸/۳۷	۰/۹۶	نرمال	۱۷/۰۸	۰/۹۶	نرمال	۲۱۸	۰/۹۲
۴	نرمال	۵۵/۳	۰/۴۹	نرمال	۱۱/۶	۰/۶۸	نرمال	۱۰/۸	۰/۶۸	نرمال	۳۱۲/۵	۰/۳۷

جهت تاثیر آن بر اندازه بلوک‌هایی که ممکن است تشکیل شوند، برای پیش‌بینی رفتار توده‌سنگ و میزان خردشوندگی برجای آن مهم است. متوسط، واریانس و توزیع طول اثر ناپیوستگی، اطلاعات مهمی برای هر دسته درزه محسوب می‌شوند که برای تهیه مدل هندسی تصادفی توده‌سنگ‌های درزه‌دار مورد نیاز هستند.

بدلیل اینکه برداشت مستقیم درزه‌ها در داخل توده‌سنگ در عمل غیرممکن است بنابراین فرض می‌شود که اندازه‌های سه‌بعدی درزه‌ها دارای ویژگی‌های آماری مشابه با نتایج Xu and Dowd, (2010). تاکنون بهترین برآشن‌های پیشنهاد شده برای توزیع طول اثر درزه‌های حاصل از برداشت دو بعدی، توابع نمایی Kulatilake et al., 2003, Baecher, 1983, Zadhesh Priest, 1993, Zhang and (et al., 2013) (Priest, 1993, Zhang and Einstein, 2000, Wu and Wang, 2002 Einstein, 2000) و گاما (Gamma) (Zhang and Einstein, 2000) بوده است.

نتایج مقایسه‌ی آزمون‌های آزمون برآشن شامل آزمون کولموگروف-اسمنورووف (K-S)، اندرسون - دارلینگ (A-D) و آزمون چی-اسکویر (Ch-S) برای طول درزه‌های برداشت شده در رخنمون‌های مورد مطالعه در شکل ۵ نشان داده شده است. نتایج، سازگاری بیشتر تابع توزیع لاغر نرمال را برای

الف- توزیع جهت‌داری

جهت یافتنگی درزه‌ها شامل دو مولفه زاویه شیب و جهت شیب است. این دو مولفه در حالت مدل‌سازی سه بعدی به صورت مستقل و با توجه به تابع توزیع آماری خود تولید می‌شوند و در صورت وجود همبستگی بین آنها از تابع توزیع چند متغیره فیشر و بینگهام استفاده می‌گردد. در حالت دو بعدی شیب ظاهری درزه در صفحه مورد نظر پیاده خواهد شد. از این رو تنها تغییرات شیب ظاهری برای مدل‌سازی مدنظر است. در تحقیق انجام شده دو دسته درزه‌ی شماره ۱ و ۲ دسته درزه‌های اصلی منطقه هستند. این دو دسته درزه دارای بیشترین فراوانی، امتدادی تقریباً یکسان و جهت شیبی با اختلاف ۱۸۰ درجه‌ای هستند از این‌رو صفحه مورد نظر برای ساخت مدل هندسی دو بعدی، صفحه‌ای با امتداد یکسان با این دو دسته درزه در نظر گرفته شده است. در جدول ۲ مقادیر شیب و جهت شیب به همراه تابع توزیع آن‌ها ارایه شده است. به منظور تعیین توزیع جهت یافتنگی از آزمون برآشن اندرسون - دارلینگ (A-D) استفاده شده است.

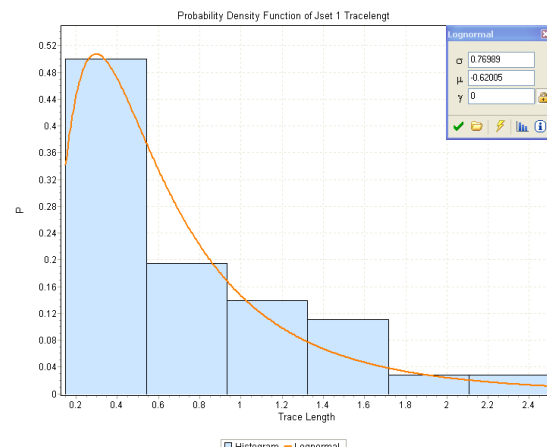
ب- توزیع طول اثر (پایایی)

طول اثر درزه، ناشی از برخورد درزه با سطح رخنمون است. این طول بیانگر گسترش صفحه درزه و اندازه‌ی بلوک‌های سنگی است (Sari, 2009). دانستن طول اثر ناپیوستگی‌ها از

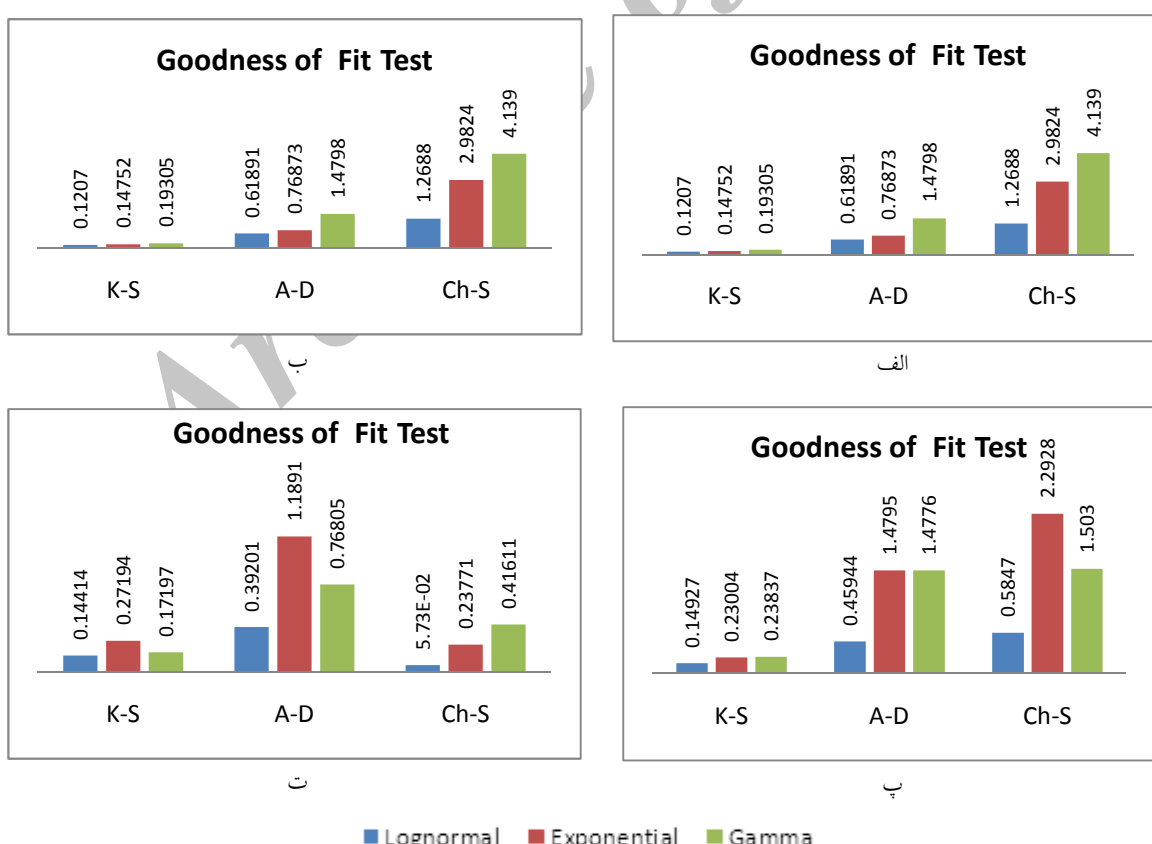
به عنوان نمونه تابع توزیع برآذش شده بر طول دسته درزه‌ی ۱ در شکل ۴ نشان داده شده است، مشخصات توابع توزیع هر دسته درزه در جدول ۲ ارایه شده است.

توزیع طول درزه تایید می‌کند، که شکل کلی این تابع به صورت زیر است:

$$f(x) = \frac{1}{x\sigma\sqrt{2\pi}} \exp\left[-\frac{1}{2}\left(\frac{\ln x - \mu}{\sigma}\right)^2\right] \quad (7)$$



شکل ۴. تابع توزیع لاغ نرمال برآذش شده بر طول اثر دسته درزه ۱ به همراه آماره‌های آن



شکل ۵. نتایج مقایسه‌ی آزمون بهترین برآذش بر طول اثر (الف) دسته درزه ۱ (ب) دسته درزه ۲ (پ) دسته درزه ۳ (ت) دسته درزه ۴

P_{21} , به عنوان طول کلی درزه در داخل مساحت داده شده تعریف می شود که مستقل از مقیاس است. P_{21} , تعداد دسته درزه ها، پایایی درزه و تعداد درزه های موجود را در نظر می گیرد.

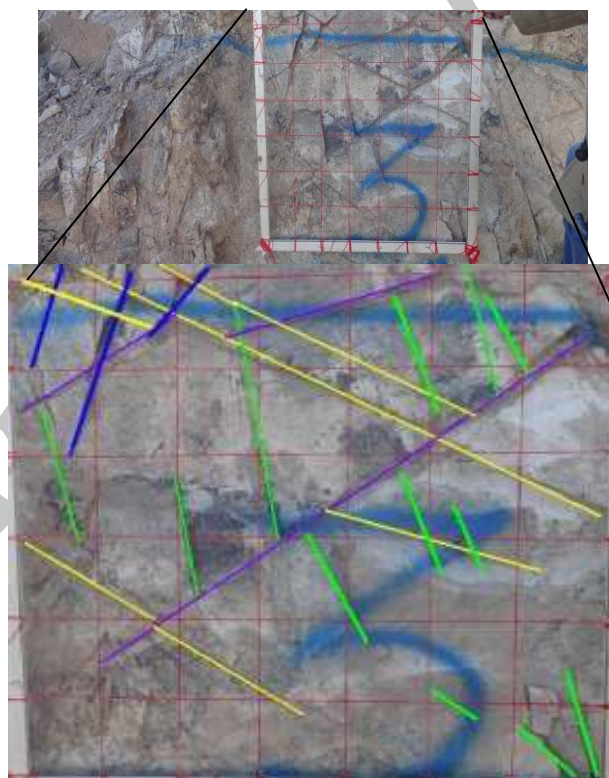
در این مقاله با استفاده از روش برداشت پنچره مربعی درزه های قابل دیدن با استفاده از یک چارچوب یک متر مربعی دارای شبکه مشبندی ۱۰ سانتی متر مربعی برداشت شدند (شکل ۶). درزه های متقطع با هر خط مش اندازه گیری و تعداد کلی درزه های شمارش شده در چارچوب یک متر مربعی به عنوان چگالی سطحی درزه تعریف شدند. مقادیر P_{20} برای هر دسته درزه بصورت جداگانه محاسبه شده است (جدول ۲).

ج- چگالی درزه داری

چگالی ناپیوستگی های سنگ در اصل تعداد ناپیوستگی ها بر واحد توده سنگ است که آن واحد، می تواند حجم، مساحت و یا طول باشد.

عدم دسترسی سه بعدی به یک توده سنگ باعث خواهد شد اندازه گیری حجمی چگالی یا شدت درزه داری بصورت مستقیم، مشکل و غیرممکن باشد. این در حالی است که اندازه گیری میدانی (مستقیم) این پارامترها بصورت یک بعدی (در طول خط برداشت و یا گمانه) و دو بعدی (در سطح دیواره ها، تونل ها و غیره) به سادگی قابل انجام است.

چگالی درزه داری دو بعدی (P_{20}), به صورت تعداد کل درزه ها بر مساحت داده شده تعریف می شود، شدت درزه در دو بعد،



شکل ۶. اندازه گیری چگالی درزه (P_{20})

خردشوندگی اولیه و خردشوندگی ثانویه (Brown, 2003, Laubscher, 2003)

۵. تحلیل خردشوندگی برجا

به طور کلی سه سطح خردشوندگی در روش های تخریبی تعریف شده است که عبارتند از: خردشوندگی برجا،

نماینده پایه Representative Elementary Volume (REV) در مورد ابعاد انتخاب شده صدق کند. همچنین مدل ساخته شده باید در مقایسه با واقعیت موجود و برداشت شده اعتبار کافی را داشته باشد. به این منظور با توجه به طول درزه‌های برداشت شده مدل‌هایی با ابعاد 5×5 ، 10×10 ، 15×15 و 20×20 هر کدام ۶۰ مرتبه ساخته شد، یک نمونه از مدل ساخته شده به ابعاد 20×20 در شکل‌های ۷ و ۸ به تفکیک دسته درزه‌ها و به صورت کلی نشان داده شده است.

در مرحله‌ی بعد با تعریف خطوط برداشت (نمونه‌گیری) افقی و قائم به فواصل یک متري داخل مدل‌ها، مقادیر چگالی درزه‌داری خطی (P_{10}) برای هر خط برداشت تعیین شد، سپس مقادیر میانگین آن در هر یک از این دو راستا برای هر مدل محاسبه گردید. و در نهایت مقادیر تابع توزیع به همراه آماره‌های مرتبه اول و دوم آن (میانگین و انحراف استاندارد) برای هر یک از ابعاد محاسبه شد. شکل ۹ نمونه‌ای از خطوط برداشت افقی تعریف شده برای یک مدل را نشان می‌دهد.

در مورد چگالی درزه‌داری سطحی (P_{20}) نیز این فرآیند برای کل دسته‌درزه‌های هر مدل و به تفکیک هر دسته درزه تکرار شد تا آماره‌های مورد نیاز جهت مقایسه‌ی مدل‌ها با ابعاد متفاوت به دست آید. یکی دیگر از مولفه‌های بررسی شده مقدار شدت درزه‌داری سطحی (P_{21}) است. این مولفه نیز برای هر مدل در هریک از ابعاد ذکر شده تعیین شد. سپس مقادیر میانگین و انحراف استاندارد آن برای هریک از ابعاد محاسبه شد. هم‌زمان با انجام فرآیند تعیین حجم نماینده، مقادیر شیب و طول برای هر دسته درزه برای هریک از ابعاد در مدل‌های معرف هر بعد (با مولفه‌های آماری نزدیک به میانگین آن بعد)، تعیین و توابع چگالی احتمال به همراه آماره‌های آن‌ها با توابع چگالی احتمال و آماره‌های مقادیر برداشت شده که به عنوان ورودی مدل استفاده شده است، مقایسه شد تا مدل نهایی از برازش خوب و قابل قبولی با شرایط واقعی برخوردار باشد. پس از انجام تمامی فرآیندهای ذکر شده و مقایسه‌ی نتایج آماری به دست آمده، در نهایت مدل 10×10 مناسب تشخیص داده شد.

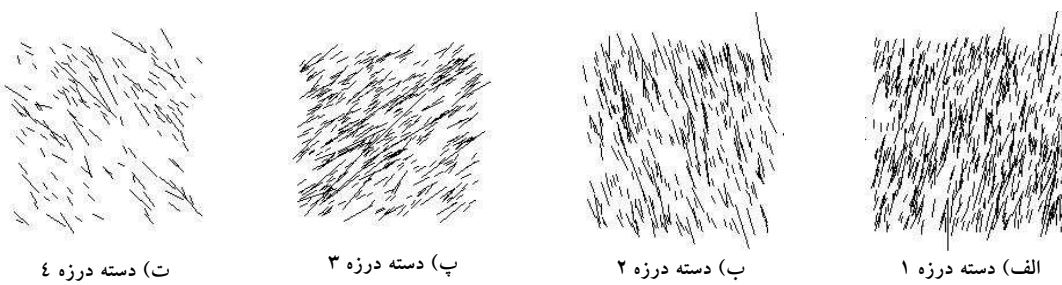
الف) خردشدنگی برجا Insituue Fragmentation شامل بلوک‌هایی که به‌طور طبیعی قبل از شروع عملیات معدنکاری در تودهسنگ وجود دارند. این خردشوندگی بوسیله درزه‌های شکل می‌گیرد که از قبل در توده وجود دارند.

ب) خردشوندگی اولیه Primary Fragmentation به محض ایجاد زیربرش و شروع عملیات تخریب، بلوک‌های همسایه فضای تخریب جدا شده و خردایش اولیه شکل می‌گیرد.

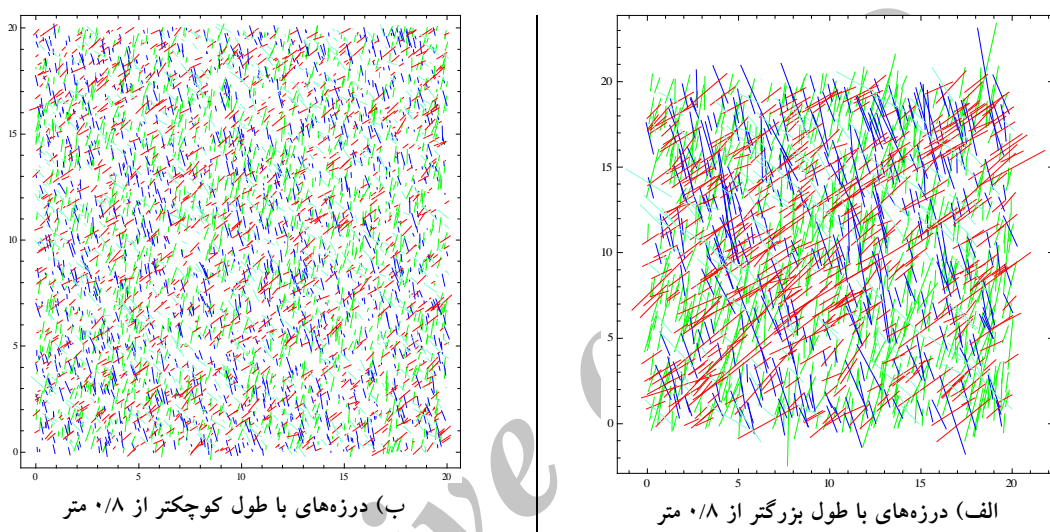
ج) خردشوندگی ثانویه Secondary Fragmentation این خردایش در طول مسیر از زمان جداسازی سنگ از سطح تخریب و عبور از ستون تخلیه تا خروج از دهانه تخلیه رخ می‌دهد.

آنچه در این مقاله مورد نظر است، تعیین میزان خردشوندگی و ابعاد بلوک‌های برجای تشکیل شده از شبکه درزه‌های موجود است. همانگونه که اشاره شد این بخش می‌تواند به عنوان یکی از مولفه‌های اولیه و اصلی امکان‌سنجی تخریب‌پذیری تودهسنگ یا کانسار باشد. برای این منظور نرم‌افزار تهیه شده برای مدل‌سازی شبکه ناپیوستگی گستته باید دارای قابلیت ساخت انواع مدل‌های درزه‌داری (سلسله مراتبی، پایا و ناپایا) با انواع توزیع‌های آماری مختلف به همراه امکانات اعتبارسنجی لازم برای مدل‌های ساخته شده باشد و قابلیت تشکیل بلوک‌های کامل حاصل از برخورد درزه‌ها و تعیین ابعاد آن‌ها با امکان رسم توابع توزیع آماری را داشته باشد. همچنین امکان گرفتن خروجی به فرمت نرم‌افزارهای عددی برای تحلیل خردشوندگی‌های اولیه و ثانویه، که در آن تغییرات تنش، تنش‌های القایی و جابجایی‌ها نقش دارد، وجود داشته باشد.

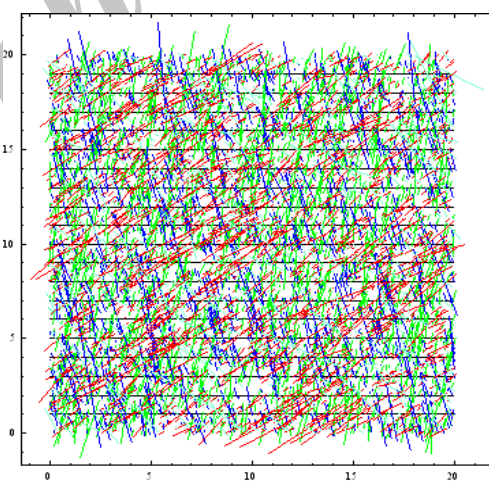
۱-۱. ساخت مدل شبکه ناپیوستگی گستته برای ساخت مدل شبکه‌درزه‌ها به‌منظور تخمین خردشوندگی، اولین مرحله تعیین ابعاد مناسب مدل است. حد بیشینه ابعاد مدل بصورت تئوری ابعاد کل منطقه‌ای است که دارای شرایط درزه‌داری کاملاً مشابه با آنچه که برداشت شده است، باشد و کمینه این ابعاد باید به گونه‌ای تعریف شود که نماینده تودهسنگ مورد مطالعه باشد. در واقع باید مفهوم حجم



شکل ۷. خروجی یکی از مدل‌های ساخت شبکه درزهای هر دسته درزه



شکل ۸. خروجی کلی یکی از مدل‌های ساخت شبکه درزهای



شکل ۹. نمایی از یک مدل به همراه خطوط برداشت افقی در ترازهای یک متری

برداشت شده، در جدول‌های ۳ تا ۵ ارایه شده است. در جدول ۳ مقادیر چگالی درزهای سطحی و چگالی

برخی از مولفه‌های هندسی مدل 10×10 انتخاب شده برای تحلیل خردشوندگی، به صورت مقایسه‌ای با مقادیر متناظر

داده‌های متناظر برداشت شده نشان می‌دهد. به عنوان نمونه توابع توزیع و آماره‌های مربوط به دسته درزه‌ی شماره ۳ در شکل ۱۰ و جدول ۵ برای مقایسه‌ی بهتر نشان داده است. پس از تعیین ابعاد بهینه مدل و اعتبارسنجی آن، بخشی از هر درزه که در ایجاد بلوک نقشی ندارد حذف شده و به اصطلاح مدل منظم‌سازی می‌شود.

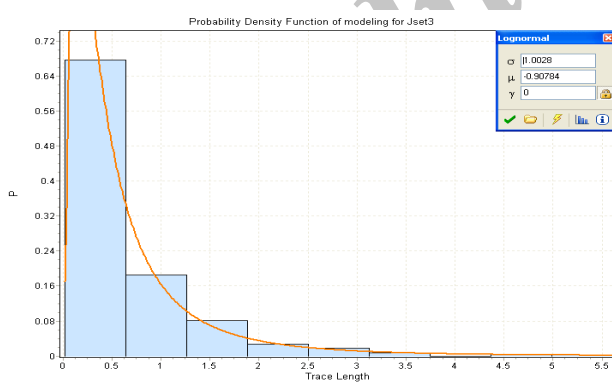
۵-۲. محاسبه‌ی خردشوندگی برجا
پس از آن بلوک‌های کامل حاصل از تقاطع درزه‌ها مشخص می‌شود و مساحت آن‌ها محاسبه می‌گردد، این فرآیند بصورت تصویری در شکل ۱۱ نشان داده شده است.

درزه‌داری خطی برداشت شده در راستای افق و حاصل از مدل‌سازی، مقایسه شده و میزان انطباق به تفکیک هر دسته درزه و بصورت کلی برآورد شده است.

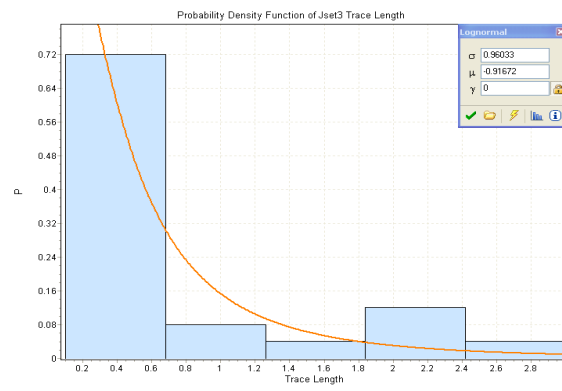
توابع چگالی احتمال شیب و طول درزه‌ها پس از ساخت مدل بوسیله‌ی DFN^{2D} با داده‌های برداشت شده مقایسه شده که هم‌خوانی بسیار خوبی را نشان می‌دهد. در مورد مولفه‌ی شیب بدلیل اینکه روی صفحه‌ای که مقطع مدل‌سازی ایجاد شده دسته درزه‌های ۱ و ۲ با شیب واقعی مدل می‌شوند برای مقایسه از این دو دسته درزه استفاده شده است. نتایج در جدول شماره ۴ ارایه شده است. مقادیر توابع چگالی احتمال طول دسته درزه‌های مدل شده نیز تطابق بسیار خوبی را با

جدول ۳. تعیین میزان انطباق چگالی درزه‌داری سطحی برداشت شده و مدل‌سازی بوسیله‌ی DFN^{2D}

دسته	برداشت شده	چگالی درزه‌داری سطحی (P ₂₀)		چگالی درزه‌داری خطی افقی (P ₁₀)	
		DFN ^{2D}	مدل	برداشت شده	DFN ^{2D}
۱	۵/۱	۵/۰۷	۹۹/۵	۹۹/۲	۸/۸۳
۲	۴/۴۴	۴/۴۴	۱۰۰		
۳	۴/۲	۴/۱۹	۹۹/۷		
۴	۲/۶	۲/۶۱	۹۹/۶		
کل	۱۶/۳۴	۱۶/۳۱	۹۹/۸	۸/۹	۹۹/۲



ب) داده‌های خروجی مدل DFN^{2D}



الف) داده‌های برداشت شده

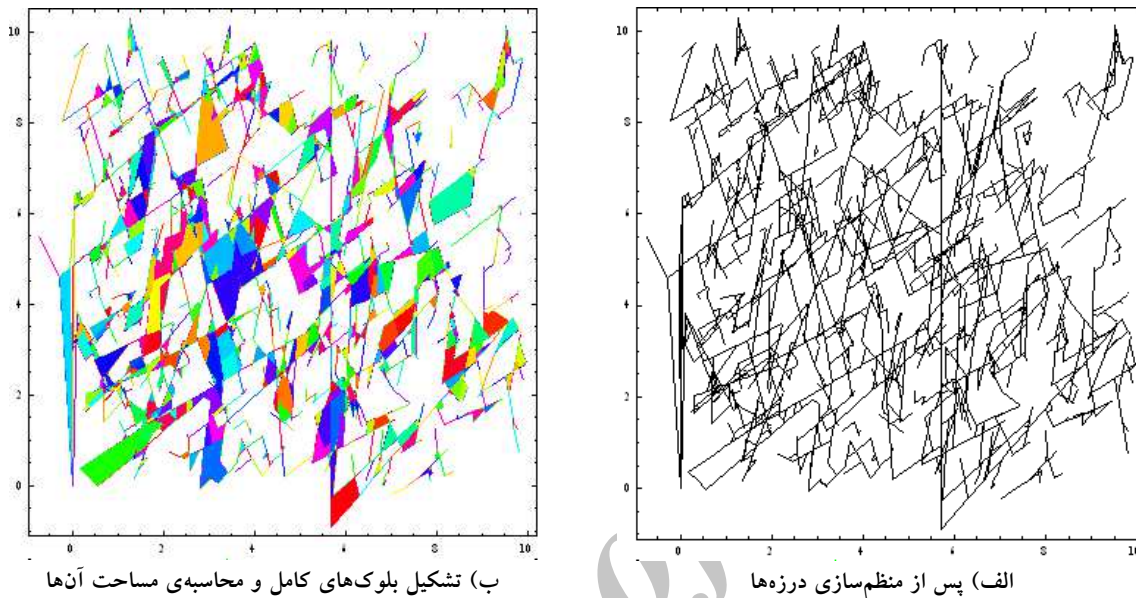
شکل ۱۰. تابع توزیع برآشش شده بر طول دسته درزه ۳ به همراه آماره‌های آن

جدول ۴. مولفه‌های آماری شیب دسته درزه‌های شماره ۱ و ۲، برداشت شده و پس از مدل‌سازی بوسیله‌ی DFN^{2D}

دسته	برداشت شده	مدل	شیب (درجه)
۱	۷۹/۳	۷۹/۶۹	۶/۹۷
۲	۷۵/۵	۷۵/۵۴	۵/۴۸

جدول ۵. مولفه‌های آماری طول دسته درزه‌ی شماره ۳، برداشت شده و پس از مدل‌سازی بوسیلهٔ DFN^{2D}

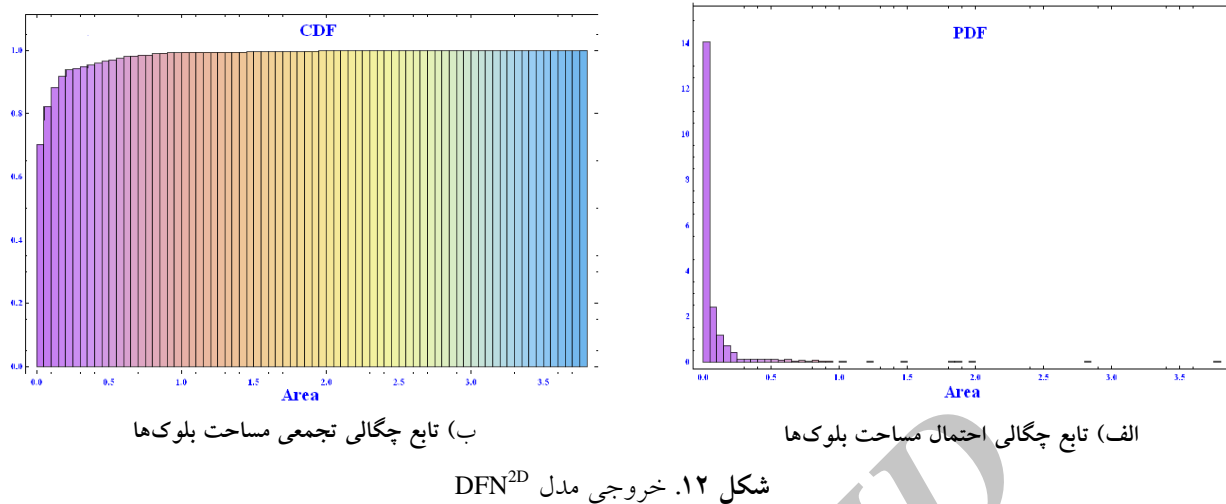
تابع توزیع	برداشت	مدل DFN ^{2D}	پارامتر موقعیت (m)	پارامتر مقیاس (s)	میانگین	انحراف استاندارد	DFN ^{2D}
lag نرمال	-۰/۹۲	lag نرمال	۰/۹۶	۰/۶۷	۰/۷۸	۰/۷۸	
lag نرمال	-۰/۹۰۸	lag نرمال	۱/۰۰	۰/۶۵	۰/۷۲	۰/۷۲	

شکل ۱۱. خروجی مدل DFN^{2D}

هستند. مساحت بزرگترین بلوک تشکیل شده $3/68$ مترمربع و مساحت کوچکترین بلوک $۰/۰۶۴$ مترمربع تعیین شد. مدل‌سازی شبکه ناپیوستگی‌های برداشت شده از معدن میزان تشکیل بلوک‌های سنگی کامل را در وضعیت خوب نشان می‌دهد ($67/5$ درصد) این در حالی است که ابعاد بیشتر بلوک‌های تشکیل شده ۹۷ درصد) کمتر یا مساوی $۰/۵$ مترمربع محاسبه شده است. با فرض برقرار بودن شرایط مشابه در عمق، می‌توان به این نتیجه رسید که ترکیبی از بلوک‌های سنگی درشت (حدود ۳۰ درصد) در زمینه‌ی بلوک‌های ریز قرار گرفته است که بسته به طراحی ابعاد زیربرش و پنل‌های استخراجی می‌تواند باعث بروز مشکلاتی در فرآیند خردشوندگی اولیه و ثانویه شود. نتیجه‌گیری درست و کامل راجع به موضوع مطرح شده، منوط به بررسی‌های زیرسطحی کامل، مدل‌سازی مکانیکی صحیح با در نظر گرفتن شرایطی تاحد امکان نزدیک به واقعیت و استنتاج و تحلیل کامل نتایج بدست آمده، است.

در شکل ۱۱ بلوک‌هایی که در داخل آنها در اثر تقاطع درزه‌های کوچکتر بلوک‌های ریز تشکیل می‌شود نیز به رنگ زمینه (سفید) مشخص شده است. به منظور تشکیل نشدن بلوک‌های ریزتر همانگونه که اشاره شد می‌توان با استفاده از قابلیت تفکیک درزه‌ها براساس طول آنها اقدام به حذف درزه‌های با طول کم نمود.

در نهایت پس از تعیین مساحت بلوک‌ها تابع چگالی احتمال مساحت به همراه تابع چگالی تجمعی مساحت توسط نرم‌افزار محاسبه و در اختیار قرار خواهد گرفت (شکل ۱۲). همچنین نسبت مساحت کل بلوک‌ها به مساحت کل مدل نیز بصورت درصد ارایه می‌شود. این نسبت برای مدل ساخته شده $67/5$ درصد محاسبه شده است. با بررسی منحنی‌های توابع چگالی احتمال و چگالی تجمعی مساحت بلوک‌ها مشخص می‌گردد که بیش از ۹۷ درصد از بلوک‌های کامل تشکیل شده دارای مساحتی کوچکتر یا مساوی $۰/۵$ مترمربع

شکل ۱۲. خروجی مدل DFN^{2D}

خردشوندگی بر جای توده‌سنگ، مدل تصادفی شبکه درزه با درنظر گرفتن ویژگی آماری اندازه طول درزه ساخته شده است. با توجه به این که در معدن مورد مطالعه دسترسی به عمق امکان‌پذیر نبوده است، از طرفی هدف اصلی، آزمایش کارآبی نرمافزار تهیه شده با قابلیت‌های ذکر شده بوده است، لذا مدل هندسی براساس برداشت‌های سطحی انجام شده ساخته شده است. نتایج مدل‌سازی هندسی انجام شده توسط نرم‌افزار تهیه شده در مقایسه با واقعیت موجود بسیار رضایت‌بخش بوده است.

با توجه به قابلیت‌های طراحی شده در مدل‌سازی و ارایه خروجی‌های مناسب کدهای عددی در این نرم‌افزار، از آن می‌توان در مطالعات جریان سیال، تحلیل پایداری و تخریب‌پذیری در حالت دوبعدی بخوبی استفاده نمود.

۶. نتیجه‌گیری

در اکثر موارد بهمنظور محافظه‌کارانه عمل کردن در تحلیل‌های پایداری اعم از فضاهای زیرزمینی و رویا، گسترش ناپیوستگی‌ها بصورت نامحدود و پایا در نظر گرفته می‌شود، اما در واقع، گسترش درزه در مورد بیشتر ناپیوستگی‌ها و به‌ویژه درزه‌های موجود در توده‌سنگ، نامحدود نیست. این امر تاثیر زیادی بر میزان تخریب‌پذیری کانسار در روش‌های استخراج تخریبی، به‌ویژه روش تخریب توده‌ای دارد.

در نظر گرفتن ویژگی‌های تصادفی پارامترهای هندسی درزه و ارایه مدلی تا حد امکان واقعی از توده‌سنگ که از لحاظ آماری معتبر باشد و گویای ویژگی‌های هندسی توده‌سنگ بر جا باشد، به منظور کاربرد در تحلیل‌های تخریب‌پذیری لازم است. در این مقاله با توجه به تاثیر شدید پایانی درزه بر

منابع

- امینی، ا.، و یاراحمدی بافقی، ع.، ۱۳۸۶. مدل سازی سه بعدی هندسی، ژئوتکنیکی توده‌سنگ‌های درزه‌دار به روش آماری (مطالعه موردی: بلوک تکتونیکی II معدن چغارت). مجموعه مقالات سومین کنفرانس مکانیک سنگ ایران، دانشگاه صنعتی امیرکبیر، تهران.
- امینی، ا.، و یاراحمدی بافقی، ع.، ۱۳۸۸. شبیه‌سازی شبکه ناپیوستگی‌ها در مدل‌سازی ژئوتکنیکی فضاهای زیرزمینی توسط محیط نرم‌افزاری Mathematica. مجموعه مقالات هشتمین کنفرانس توغل ایران، تهران.
- گودرزی، ه.، و یاراحمدی بافقی، ع.، ۱۳۹۲. مدل سازی سه بعدی هندسی - ژئوتکنیکی توده‌سنگ‌های درزه‌دار به روش دیسک‌های تصادفی (ارائه برنامه RD3DGM)، مجموعه مقالات دهمین کنفرانس ملی توغل، تهران.
- گودرزی، ه.، و یاراحمدی بافقی، ع.، ۱۳۹۳. مدل سازی ۲ بعدی هندسی ناپیوستگی‌ها در نرم‌افزار تحلیل عددی UDEC و رفع عیب آن با استفاده از برنامه 3DGM. مجموعه مقالات پنجمین کنفرانس مکانیک سنگ ایران.
- Baecher, G., 1972. Site exploration: a probabilistic approach. PhD dissertation. Cambridge, MA: MIT.

- Baecher, G.B., 1983. Statistical Analysis of Rock Mass Fracturing. *Journal of Mathematical Geology*, 15(2), 329-347. DOI 10.1007/BF01036074.
- Baghbanan, A., Jing, L., 2008. Hydraulic Properties of Fractured Rock Masses with Correlated Fracture Length and Aperture. *International Journal of Rock Mechanics & Mining Sciences*, 44(5), 704– 719. DOI:10.1016/j.ijrmms.2006.11.001.
- Bang, S.H., Jeon, S., Kwon, S., 2012. Modeling the Hydraulic Characteristics of a Fractured Rock Mass with Correlated Fracture Length and Aperture: Application in the Underground Research Tunnel at Kaeri. *Nuclear Engineering and Technology*, 44 (6), 639-652. DOI:10.5516/02.2011.026.
- Brown, E.T., 2003. Block Caving Geomechanics, *The International Caving Study Stage I 1997-2000*, Julius Kruttschnitt Mineral Research Centre, Brisbane, Australia.
- Dershowitz, W.S., Einstein, H.H., 1988. Characterizing Rock Joint Geometry with Joint System Models. *Rock Mechanics and Rock Engineering* 21(1), 21–51. DOI:10.1007/BF01019674.
- Hoek, E.T., 1998. Reliability of the Hoek–Brown estimates of rock mass properties and their impact on design. *Int J Rock Mech Min Sci*; 35: 63–8.
- Hudson, J.A., La Pointe, P.R., 1980. Printed Circuits for Studying Rock Mass Permeability, *International journal of rock mechanics and mining sciences and geomechanics abstracts*, Technical Note, 17(5), 297- 301. DOI:10.1016/0148-9062(80)90812-8.
- Hudson, J.A., Priest, S.D., 1983. Discontinuity Frequency in Rock Masses. *International Journal of Rock Mechanics, Mining Sciences & Geomechanics*, Abstract, 20(2), 73-89. DOI:10.1016/0148-9062(83)90329-7.
- Ivanova, V., Xiaomeng, Y., Veneziano, D., Einstein, H.H., 1995. Development of Stochastic Models for Fracture Systems. *Rock Mechanics*, Balkema, Rotterdam, ISBN 90 5410 552 6.
- Kulatilake, P.H.S.W., Chen, J., Teng, J., 1996. Discontinuity Geometry Characterization in a Tunnel Close to the Proposed Permanent Shiplock Area of the Three Gorges Dam site in China. *International Journal of Rock Mechanics, Mining Science & Geomechanics Abstract*, 33(3), 255-277. DOI:10.1016/0148-9062(95)00060-7.
- Kulatilake, P.H.S.W., Park, J., Um, J., 2004. Estimation of Rock Mass Strength and Deformability in 3-D for a 30 m Cube at a Depth of 485 m at Aspo Hard Rock Laboratory. *Geotechnical and Geological Engineering*, 22(3), 313–330. DOI:10.1023/B:GEGE.0000025033.21994.c0.
- Kulatilake, P.H.S.W., Um, J., Wang, M., 2003. Stochastic Fracture Geometry Modeling in 3-D Including Validations for a Part of Arrowhead East Tunnel, California, USA. *Engineering Geology*, 70(1), 131-155. DOI:10.1016/S0013-7952(03)00087-5.
- Laubscher, D.H., 2003. *Cave Mining Handbook*, De Beers, p. 138.
- Martel, S., Hestir, K., Long, J.C.S., 1991. Generation of Fracture Patterns Using Self-Similar Function Concepts. *Earth Sciences Division Annual Report*, Lawrence Berkeley Lab, Berkeley, California, 52-56.
- Pine R.J., Coggan, J.S., Flynn, Z., Elmo, D., 2006. The development of a comprehensive numerical modelling approach for pre-fractured rock masses. *Rock Mechanics and Rock Engineering*. 39. 5: 395- 419.
- Pine, R.J., Coggan, J.S., Flynn, Z., Elmo, D., 2006. The Development of a New Numerical Modeling Approach for Naturally Fractured Rock Masses. *Rock Mechanics and Rock Engineering*, 39(5), 395- 419. DOI:10.1007/s00603-006-0083-x.
- Priest, S.D., 1993. *Discontinuity Analysis for Rock Engineering*. Published by Chapman & Hall, London, p. 473. ISBN: 978-94-010-4656-5.
- Priest, S.D., Hudson, J.A., 1976. Discontinuity Spacing in Rock. *International Journal of RockMechanics, Mining Sciences & Geomechanics*, Abstract 13(5), 135-148. DOI:10.1016/0148-9062(76)90818-4.
- Priest, S.D., Samaniego, J.A., 1988. The Statistical Analysis of Rigid Block Stability in Jointed Rock Masses. *5th Australia-New Zealand Conference on Geomachanics*, (pp. 398-403), Barton, A.C.T.: Institution of Engineers, Australia, Sydney. ISBN: 0858254271 & 0858254085.
- Reyes, O., Einstein, H. H., 1991. Failure Mechanics of Fractured Rock - A Fracture Coalescence Model. *7th International Society for Rock Mechanics*, A.A. Balkema. Permission to Distribute -
- Robinson, P C., 1983. Connectivity of Fracture Systems - A Percolation Theory Approach. *Journal of Physics A: Mathematical and General* 16(3), 605–614. DOI:10.1088/0305-4470/16/3/020.

- Rogers, S.F., Kennard, D.K., Dershowitz, W.S., Vanas, A., 2007. Characterising the in situ fragmentation of a fractured rock mass using a discrete fracture network approach, Rock Mechanics: Meeting Society's Challenges and Demands - Eberhardt, Stead & Morrison (eds) Taylor & Francis Group, London, ISBN 978-0-415-44401-9.
- Rogers, S.F., Moffitt, K.M., Kennard, D.T., 2006. Probabilistic slope and tunnel block stability analysis using realistic fracture network models. In Proc. 41st U.S. Symposium on Rock Mechanics, Golden, CO. ARM, VUSRMS, 06-1052.
- Rogers, S.F., Elmo, D., Catalan, A., 2014. Volumetric Fracture Intensity Measurement for Improved Rock Mass Characterisation and Fragmentation Assessment in Block Caving Operations. International Journal of Rock Mechanics Rock Engineering, 44(5), 704–719.
- Sari, M., 2009. The Stochastic Assessment of Strength and Deformability Characteristics for Apyroclastic Rock Mass. International Journal of Rock Mechanics & Mining Sciences, 46(3), 613-628. DOI:10.1016/j.ijrmms.2008.07.007.
- Tollenaar R.N., 2008. Characterization of discrete fracture networks and their influence on caveability and fragmentation. (Master of Applied Science) The University of British Columbia.
- Wanga, C., Tannant, D.D., Lilly, P.A., 2003. Numerical analysis of the stability of heavily jointed Rock slopes using PFC2D. International Journal of Rock Mechanics & Mining Sciences 40, 415–424.
- Wu, F., Wang, S., 2002. Statistical Model for Structure of Jointed Rock Mass. Geotechnique, 52(2), 137–140. DOI: 10.1680/geot.2002.52.2.137.
- Yu, X., 1992. Stochastic Modeling of Rock Fracture Geometry. M.S. Thesis, MIT, Cambridge, MA. URI: <http://hdl.handle.net/1721.1/12176>.
- Xu, C., Dowd, P., 2010. A New Computer Code for Discrete Fracture Network Modeling. Computers & Geosciences, 36(3), 292–301. DOI:10.1016/j.cageo.2009.05.012.
- Zadhesh, J., Jalali, S.E., Ramezanzadeh, A., 2013. Estimation of Joint Trace Length Probability Distribution Function in Igneous, Sedimentary, and Metamorphic Rocks. Arabian Journal of Geosciences, DOI 10.1007/s12517-013-0861-1.
- Zhang, L., Einstein, H.H., 2000. Estimating the Intensity of Rock Discontinuities. International Journal of Rock Mechanics and Mining Science, 37(5), 819-837. DOI:10.1016/S1365-1609(00)00022-8.